

# 18 Пассивные электрические цепи

Александр Романов Б01-107

## 1 Задание 1

### 1.1 low-pass filter

Соберём интегрирующую цепь (low-pass filter) и проведём измерения.

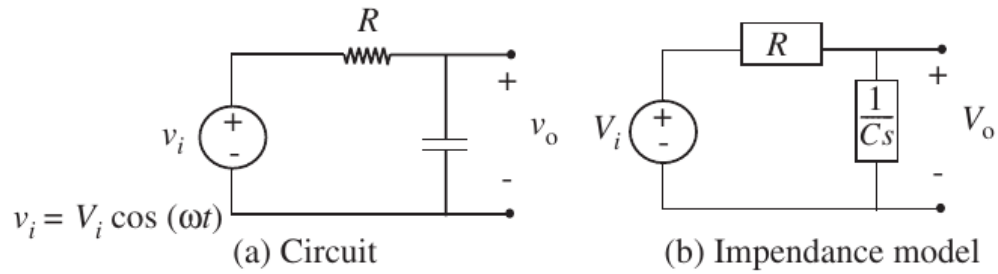


Рис. 1: low-pass filter

$$C = 1 \mu F, R = 100 \Omega, f_0 = 1.6 kHz$$

$\log_2 \left( \frac{f}{f_0} \right)$	$20 \ln(K)$
-2	-0.76
-1	-1.57
0	-6.20
1	-13.26
2	-22.63
3	-35.84

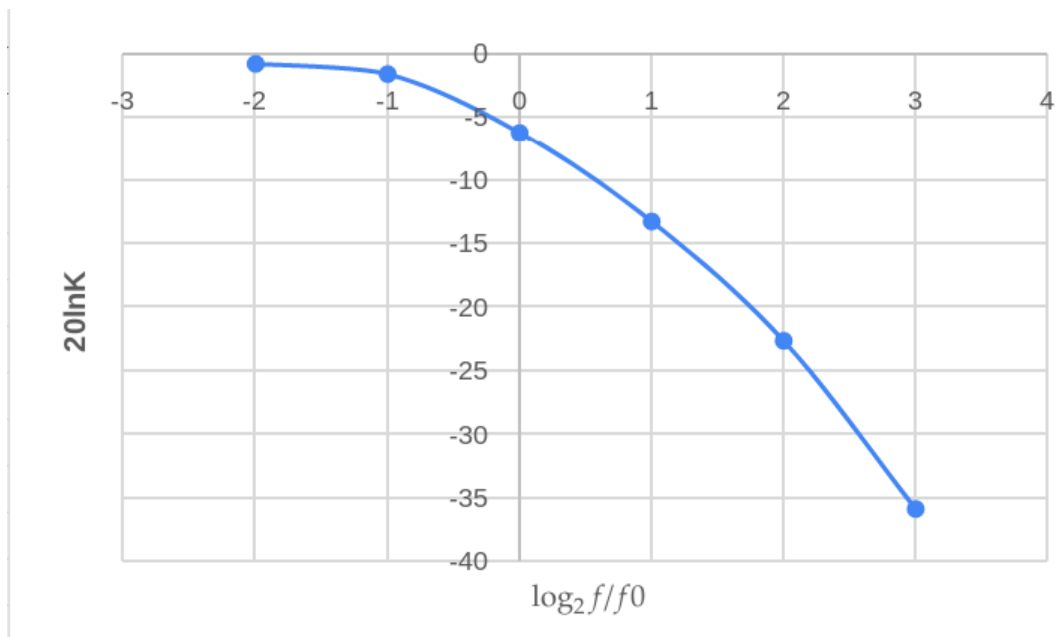


Рис. 2: Frequency response of low-pass filter

Подключим генератор прямоугольных импульсов и по осциллограмме переходной характеристики оценим постоянную времени  $\tau$ :

$$\tau = 78 \mu s$$

$$f_0 = \frac{1}{2\pi\tau} \simeq 2 \text{ kHz}$$

Что близко к  $f_0$  полученному в начале.

## 1.2 high-pass filter

Превратим интегрирующую цепь в дифференцирующую и проведём аналогичные измерения.

$$C = 1 \mu F, R = 100 \Omega, f_0 = 1.6 \text{ kHz}$$

$\log_2 \left( \frac{f}{f_0} \right)$	$20 \lg(K)$
-2	-30.84
-1	-17.75
0	-9.35
1	-3.34
2	-1.33
3	-0.34

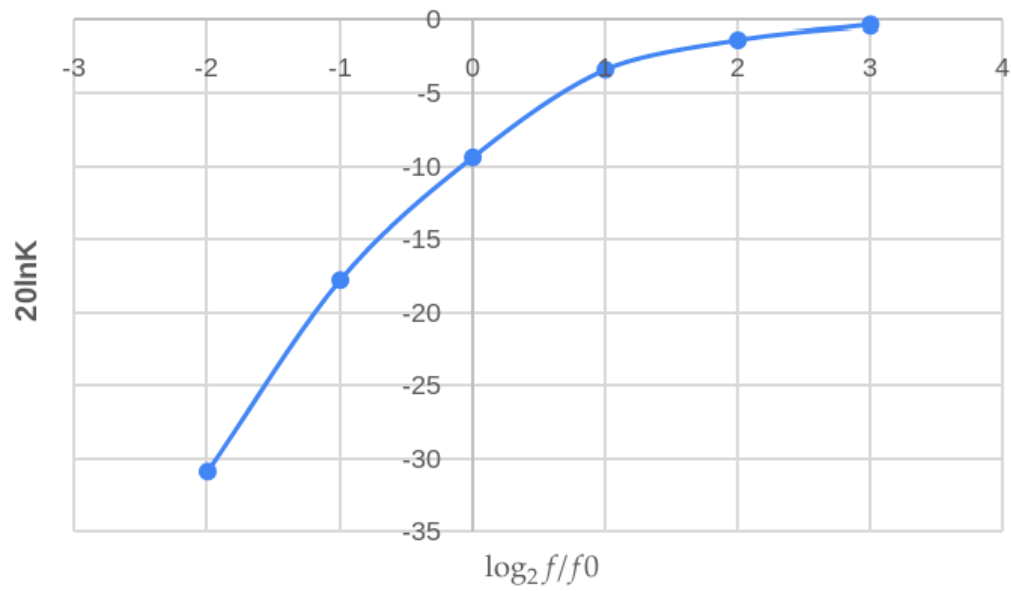


Рис. 3: Frequency response of hight-pass filter

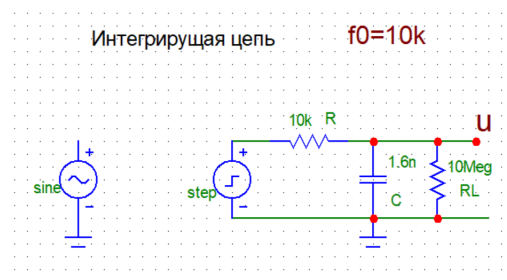
Подключим генератор прямоугольных импульсов и по осциллограмме переходной характеристики оценим постоянную времени  $\tau$ :

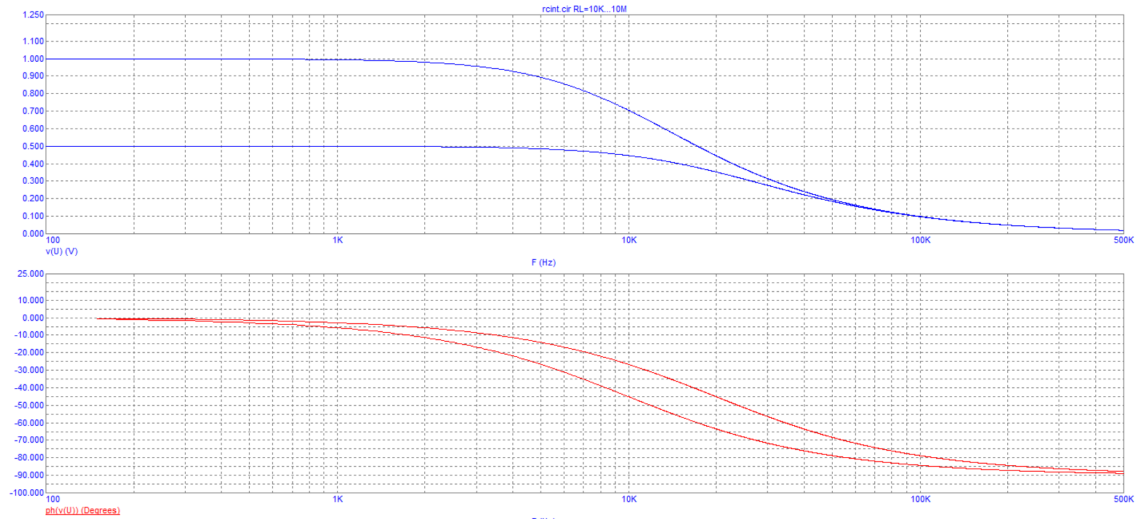
$$\tau = 144 \mu s$$

$$f_0 = \frac{1}{2\pi\tau} \simeq 1 \text{ kHz}$$

### 1.3 rcint.cir

Откроем в MicroCap модель **rcint.cir**. Изучим графики частотной и фазовой характеристики.





По графику видно, что передаточная функция цепи принимает вид:

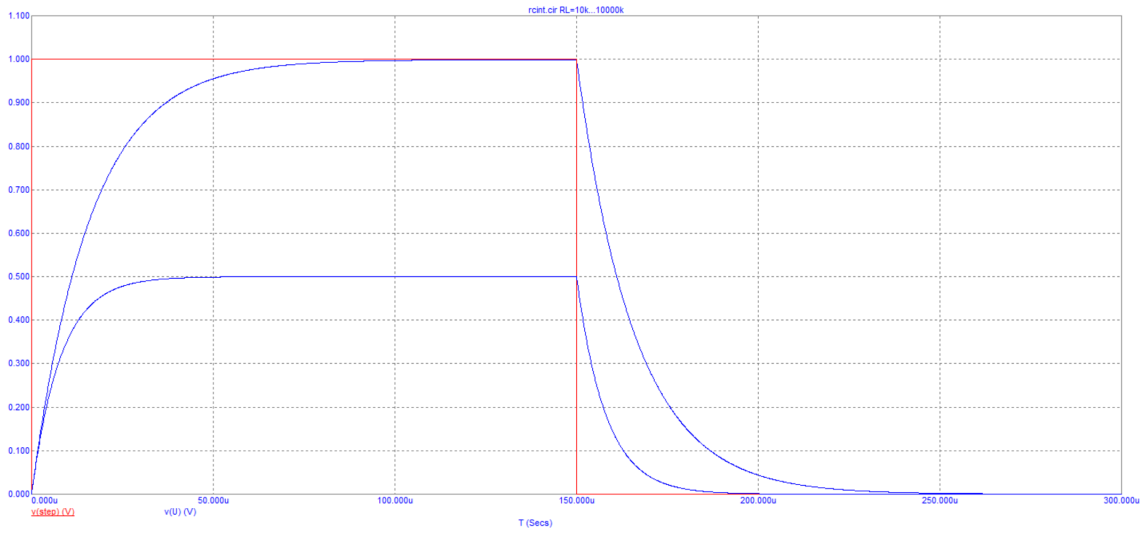
$$H(p) = \frac{K_0}{1 + p\tau}; \quad K_0 = \frac{R_L}{R + R_L}, \tau = (R \parallel R_L)C.$$

По графику оценим верхнюю частоту:

$$R_L = 10 \text{ k}\Omega, \quad f_0 \simeq 10 \text{ kHz}$$

$$R_L = 10 \text{ M}\Omega, \quad f_0 \simeq 19,9 \text{ kHz}$$

Изучим переходную характеристику. По графику оценим постоянную времени:

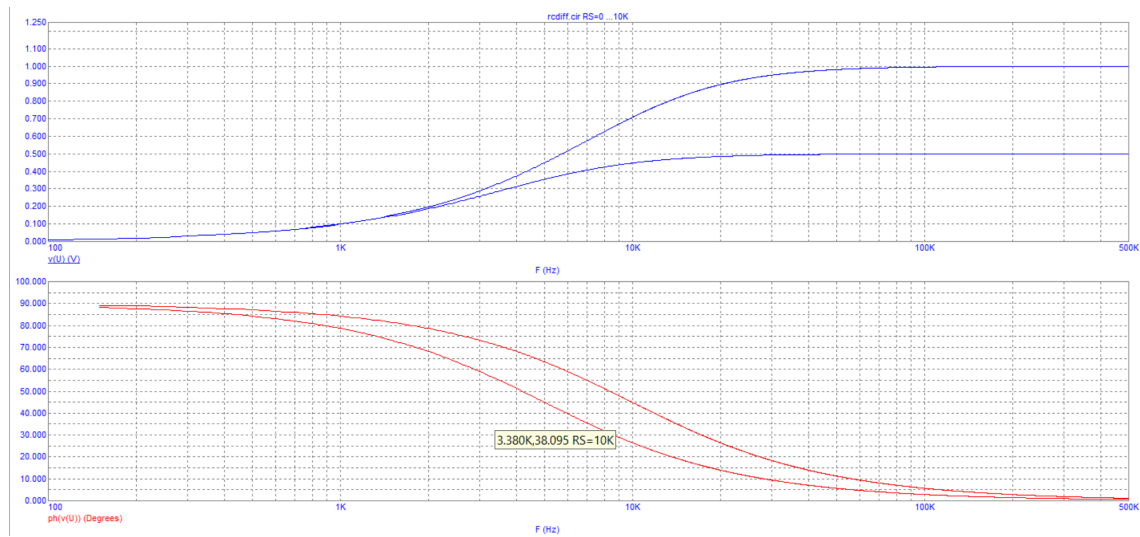
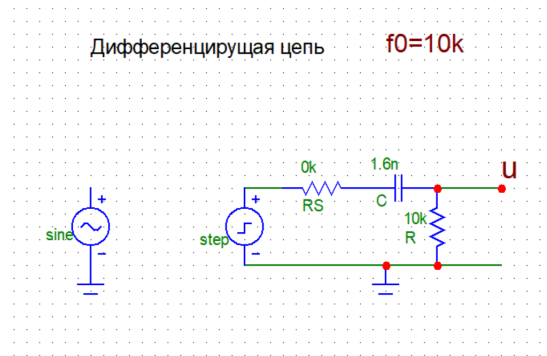


$$R_L = 10 \text{ k}\Omega, \quad \tau \simeq 9,7 \mu s$$

$$R_L = 10 \text{ M}\Omega, \quad \tau \simeq 19,6 \mu s$$

## 1.4 rcdiff.cir

Откроем модель **rcdiff.cir**. Изучим ее частотную и фазовую характеристики.



По графику видно, что передаточная функция цепи при  $R_S \neq 0$  принимает вид:

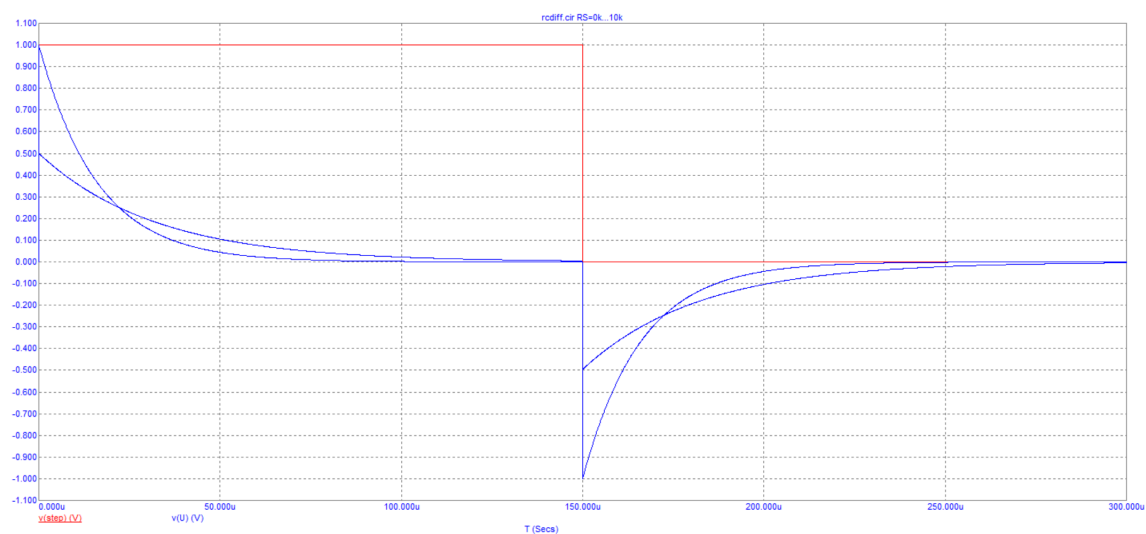
$$H(p) = \frac{K_0 p \tau}{1 + p \tau}; \quad K_0 = \frac{R}{R + R_S}, \tau = (R + R_S)C.$$

По графику оценим верхнюю частоту:

$$R_S = 0 \quad f_0 \simeq 9,75 \text{ kHz}$$

$$R_S = 10 \text{ kHz}, \quad f_0 \simeq 4,88 \text{ kHz}$$

Изучим переходную характеристику. По графику оценим постоянную времени:

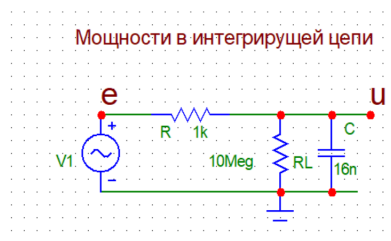


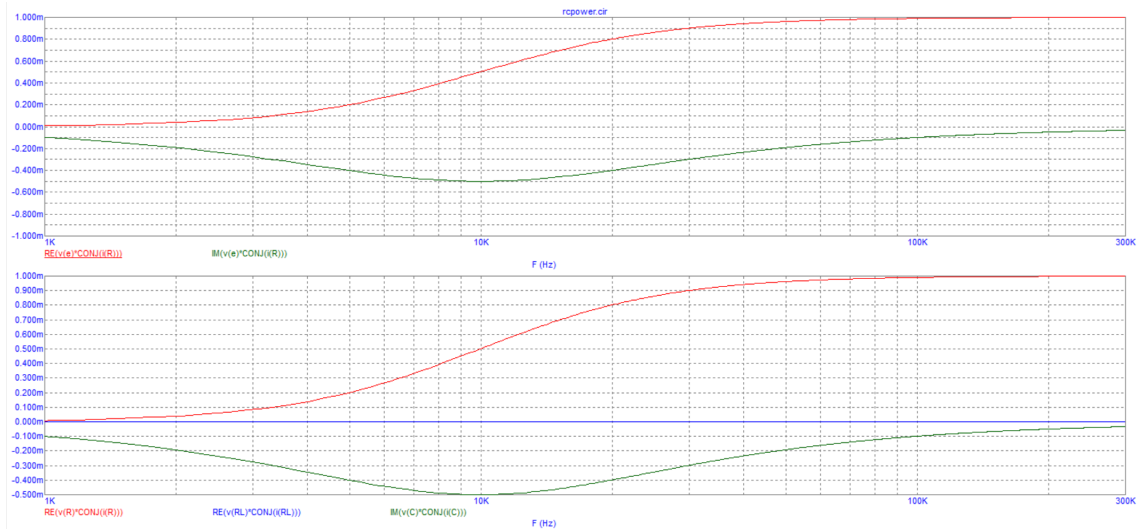
$$R_S = 0, \quad \tau \simeq 16,7 \mu s$$

$$R_S = 10 k\Omega, \quad \tau \simeq 31,8 \mu s$$

## 1.5 rcpower.cir

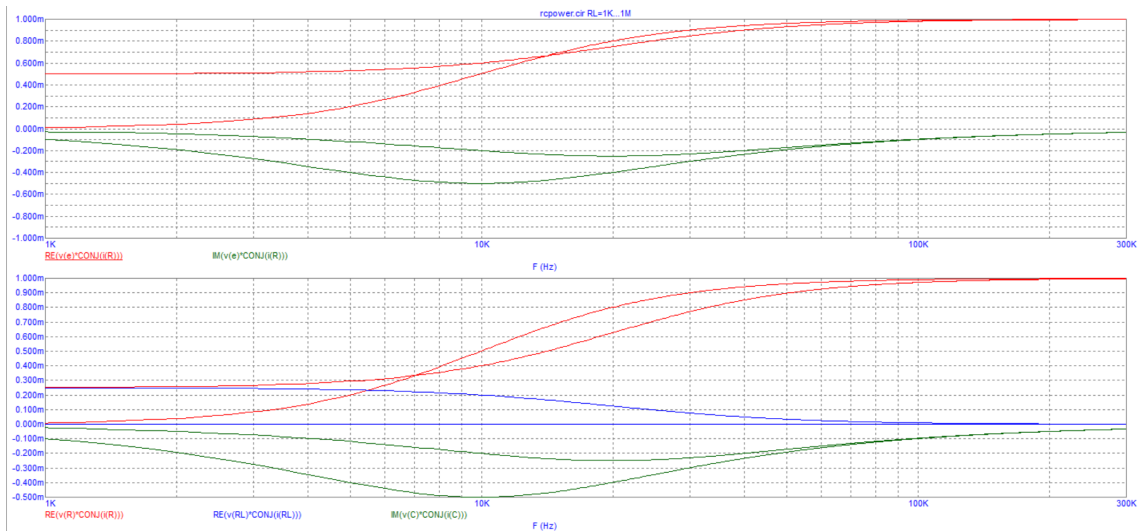
Откроем модель **rcpower.cir**. Изучим графики частотной зависимости потребляемых интегрирующей цепью активных и реактивных мощностей и графики мощностей на её компонентах.





Видно, что у реактивной компоненты потребление становится максимальным при частоте  $f_0 = 10 \text{ kHz}$ , и стремится к нулю при частоте  $f = 0$  и  $f = \infty$ . При  $f = f_0$  выполняется закон сложения мощностей.

Подключая и отключая резистор  $R_L$  варьированием  $[1k, 1Meg|1Meg](1Meg = \infty)$ , изучим его влияние на распределение мощностей в схеме при  $f = f_0$ .

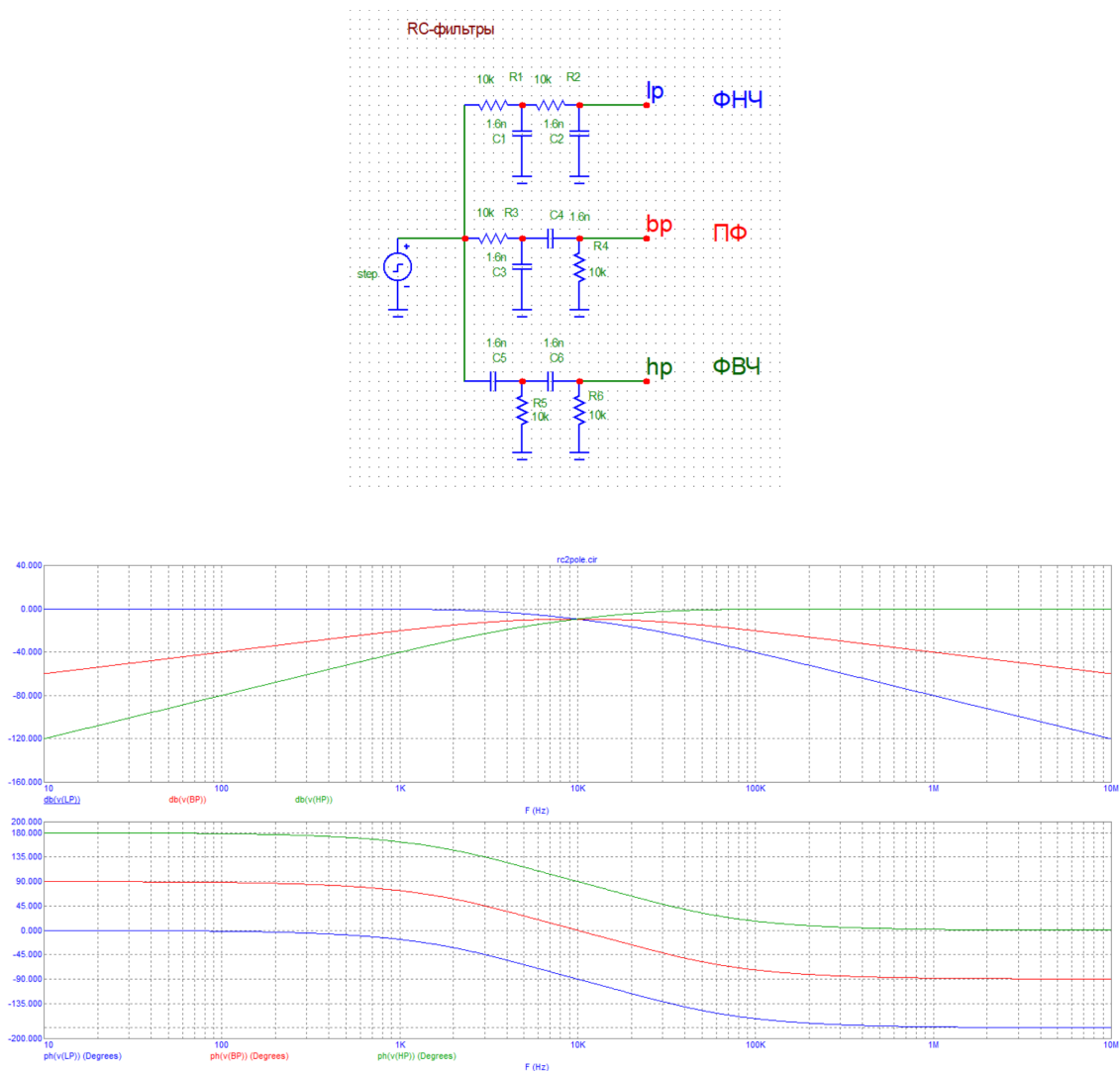


При уменьшении значения сопротивления резистора  $R_L$ , его мощность возрастает до  $0,2 \text{ mW}$ , мощность на резисторе  $R$  падает до  $0,4 \text{ mW}$ , а реактивная мощность конденсатора . Скорость увеличения мощности на резисторе  $R_L$  становится равной  $-0,2 \text{ mW}$ .

## 2 Задание 2

Откроем модель **rc2pole.cir**.

2.1



По графикам определим затухание на частоте  $f_0 \simeq 10\text{ kHz}$ , оно равно  $-9,6\text{ dB}$  и скорость его нарастания в полосах задержания  $-40,4 + 9,6 = -30,8\text{ dB/decade}$ . По графикам ФЧХ измерим значения фазовых сдвигов ФВЧ, ПФ и ФНЧ на частотах  $0, f_0, \infty$ .

	ФВЧ	ПФ	ФНЧ
0	180	90	0
$f_0$	90	0	-90
$\infty$	0	-90	-180

Двухсторонняя полоса  $\Delta f$  пропускания ПФ  $\approx 30\text{ kHz}$ , что в три раза больше  $f_0$ . Это сходится с теорией.

2.2

Откроем графики переходных характеристик.  
Оценим время спада  $\tau_-$  первого выброса переходной характеристик ФВЧ до уровня  $1/e \simeq 0,37$ :



$$\tau_- = 5 \mu s$$

Оценим время нарастания  $t_+$  фронта переходной характеристики ФНЧ до уровня  $1 - 1/e \simeq 0,63$ :

$$\tau_+ = 61 \mu s$$

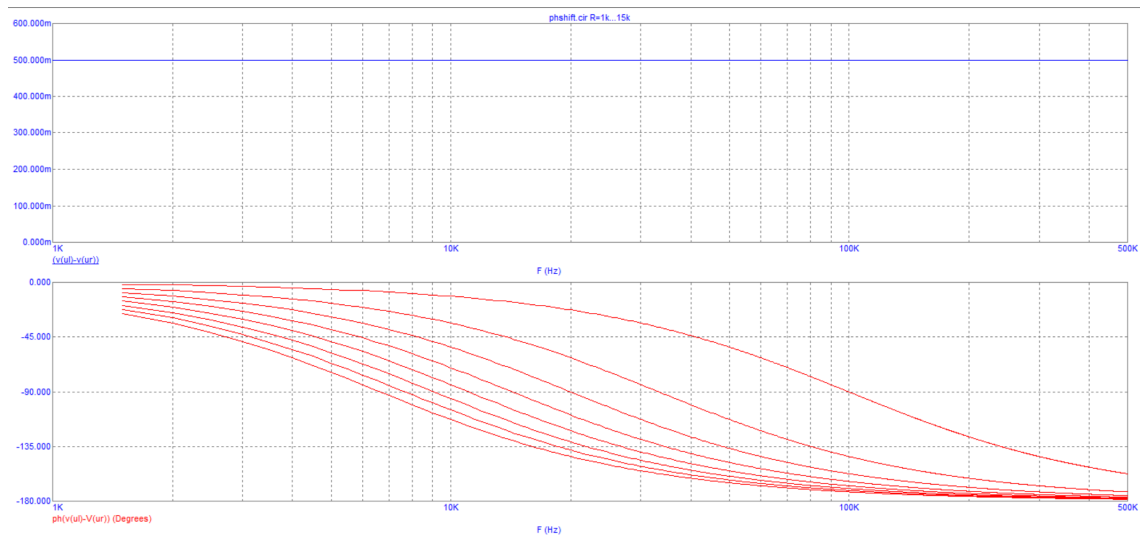
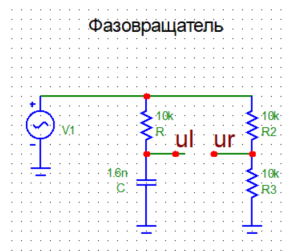
Найдем их отношение:

$$\frac{\tau_+}{\tau_-} = 12,2$$

### 3 Задание 3

#### 3.1

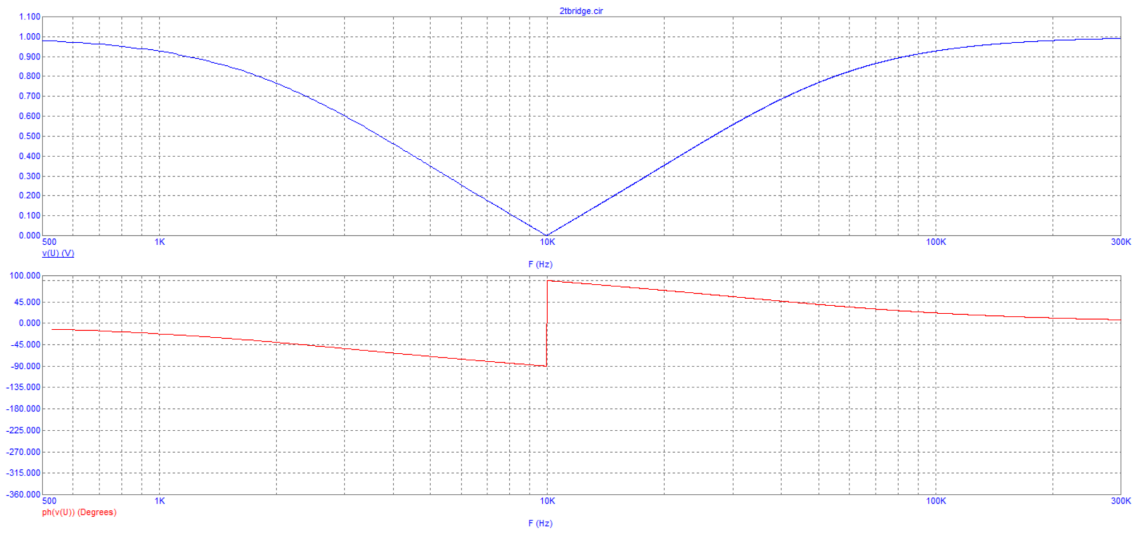
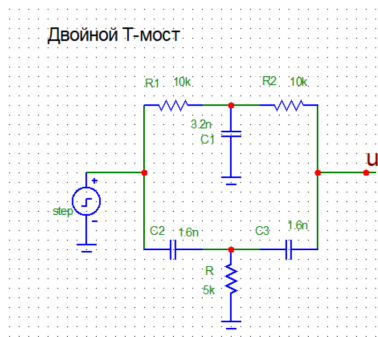
Откроем модель **phshift.cir**.



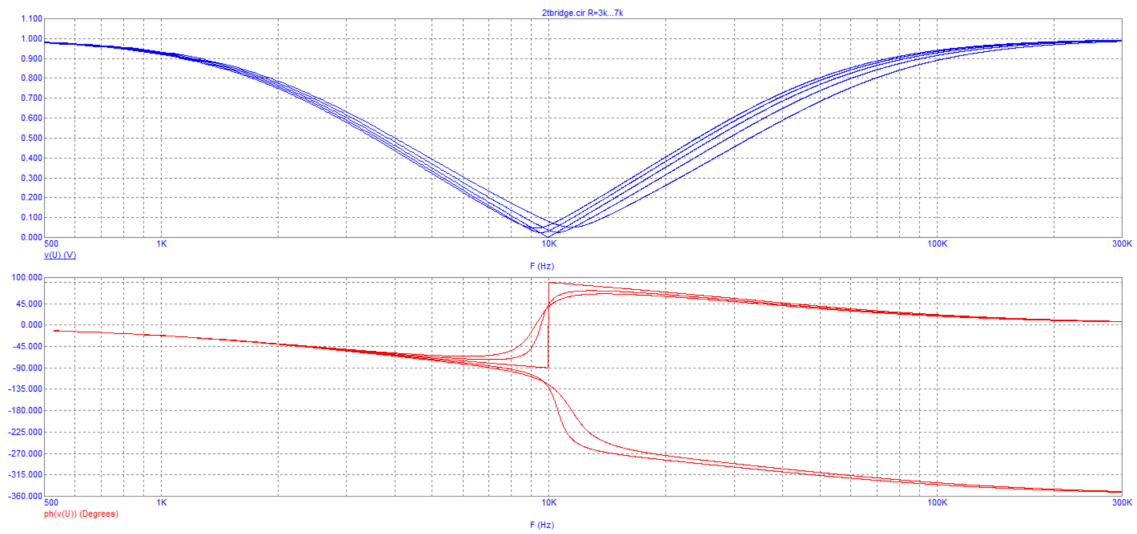
Наибольший диапазон перестройки реализуется на частоте  $f = 20 kHz$ . Границы этого диапазона  $[-143, 4; -22, 7]$ .

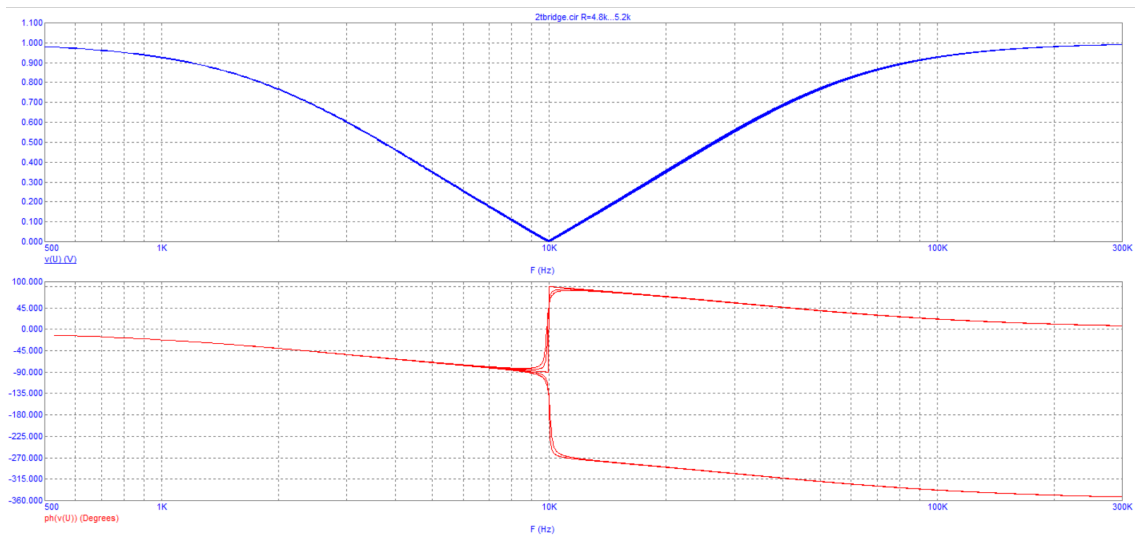
#### 3.2

Откроем модель двойного Т-моста **2tbridge.cir**.



Измерим полосу режекции  $\Delta f = 39 \text{ kHz}$ .  $f_0 = 10 \text{ kHz}$ , следовательно выполняется  $\Delta f = f_0$ .

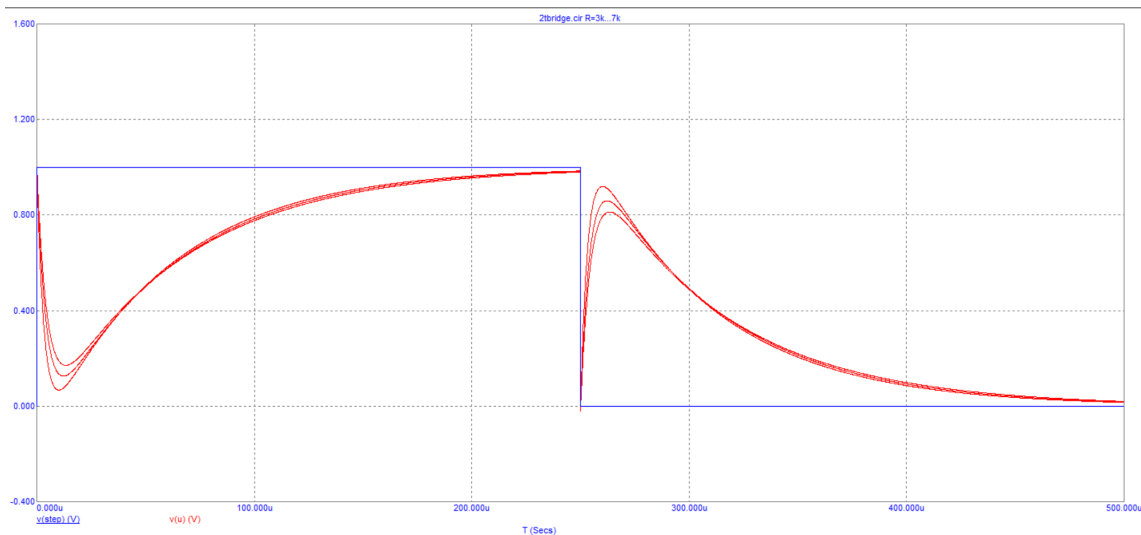




При росте  $R$ ,  $f_0$  падает. При  $R = 5 \text{ k}\Omega$  наблюдается скачок на ФЧХ.

### 3.3

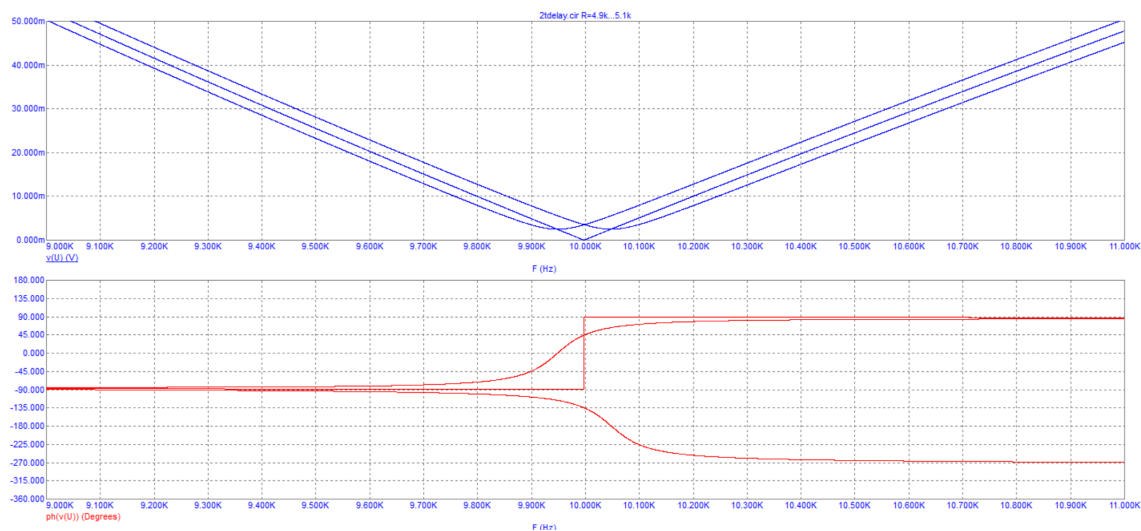
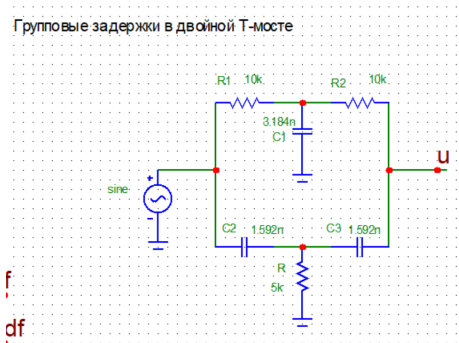
Подключив ко входу источник прямоугольного импульса, проанализируем переходную характеристику.  $\tau_+ = 4 \mu\text{s}$ ,  $\tau_- = 58 \mu\text{s}$ . Это сходится с теоретическими значениями.



Варьирование приводит к усреднению функции.

### 3.4

Откроем модель **2tdelay.cir**.



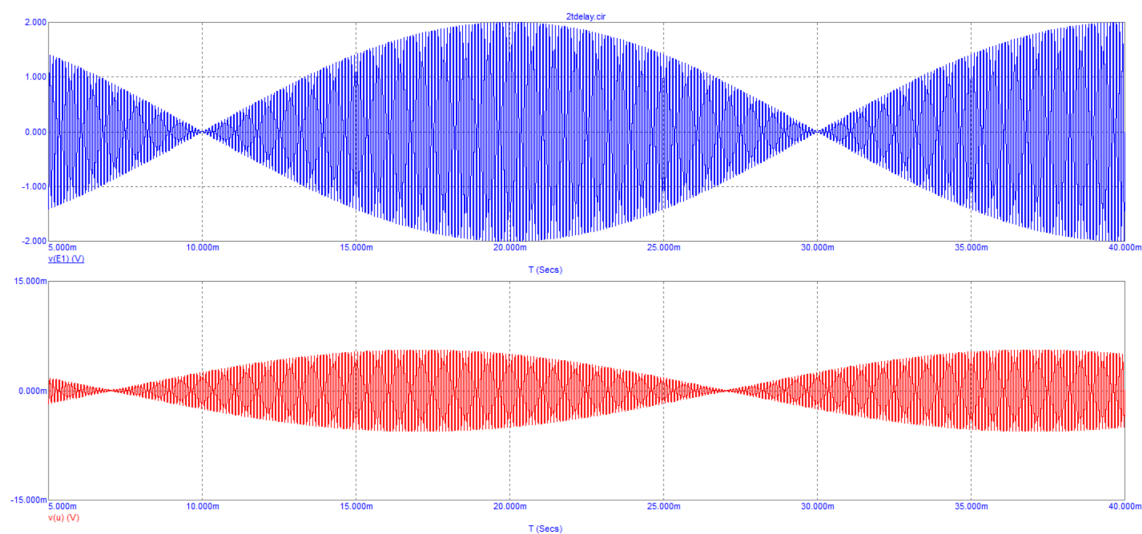
Оценим  $Q = f_0/\Delta f$ .

$R, k\Omega$	4,9	5	5,1
$f_0, kHz$	10,05	10	9,95
$\Delta f, kHz$	0,05	$10^{-4} \cdot 2,5$	0,05
$Q$	100,5	40000	99,5

В режиме *Transient* измерим групповые задержки  $\tau_g$ :

$$\tau_g = 3 \text{ ms},$$

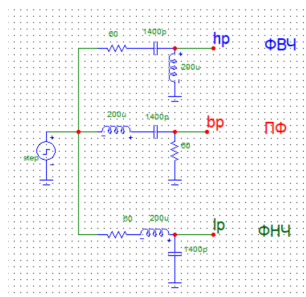
значение для обоих случаев ( $R = 4,9 \text{ k}\Omega, f = 10,05 \text{ kHz}$  и  $R = 5,1 \text{ k}\Omega, f = 9,95 \text{ kHz}$ ).



## 4 Задание 4

### 4.1

На макетной плате соберем схему полосового фильтра (его схема, как и схема ФНЧ и ФВЧ представлены на рисунке).



$$L = 220 \mu H$$

$$C = 1 \mu F$$

$$r = 92 \Omega$$

Измерим резонансную частоту и коэффициент передачи:

$$f_0 = 366 kHz$$

$$\Delta f = 75 kHz$$

$$Q = \frac{f_0}{\Delta f} = 4,8$$

## 4.2

Из тех же компонент соберем схемы ФВЧ и ФНЧ. Измерим для них резонансную частоту и отношения  $K(f_0)/K(0)$  для ФНЧ и  $K(f_0)/K(\infty)$  для ФВЧ.

$$Q = \frac{K(f_0)}{K(0)} = 5,18$$

$$Q = \frac{K(f_0)}{K(\infty)} = 4,1$$

## 4.3

Подключим генератор прямоугольных импульсов. Изучим переходные характеристики ФВЧ, ФНЧ и ПФ. Прикинем по осциллограммам период колебаний и время их затухания до уровня  $1/e = 0,37$  и дадим оценку резонансной частоты и добротности.

Для ФВЧ:

$$T = 2,8 \mu s$$

$$\tau = 0,45 \mu s$$

$$f_0 = 365 kHz$$

$$Q = 6,2$$

Для ФНЧ:

$$T = 2,83 \mu s$$

$$\tau = 0,49 \mu s$$

$$f_0 = 352 kHz$$

$$Q = 5,7$$

Для ФВЧ:

$$T = 2,84 \mu s$$

$$\tau = 0,51 \mu s$$

$$f_0 = 351 kHz$$

$$Q = 5,6$$

## 4.4

Откроем в MicroCap модель **rlc2pole.cir**, изучим частотные фазовые и переходные характеристики фильтров.

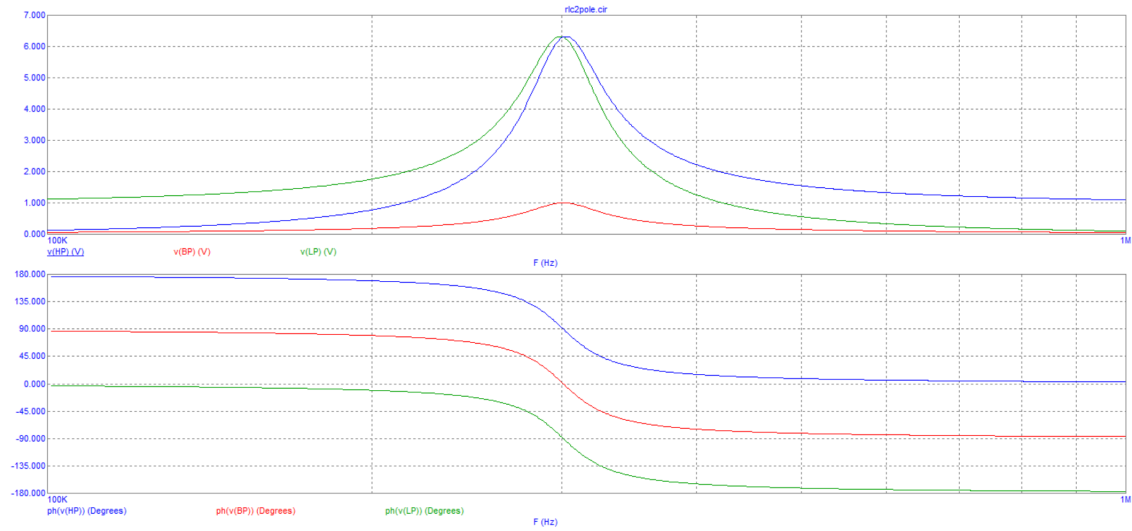


Рис. 4: Частотные и фазовые характеристики

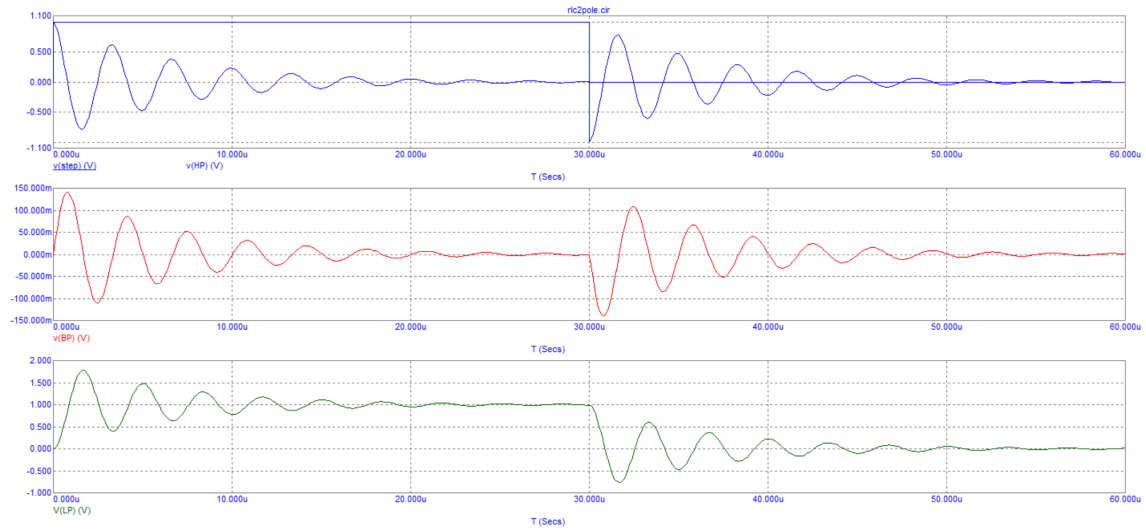


Рис. 5: Переходные характеристики

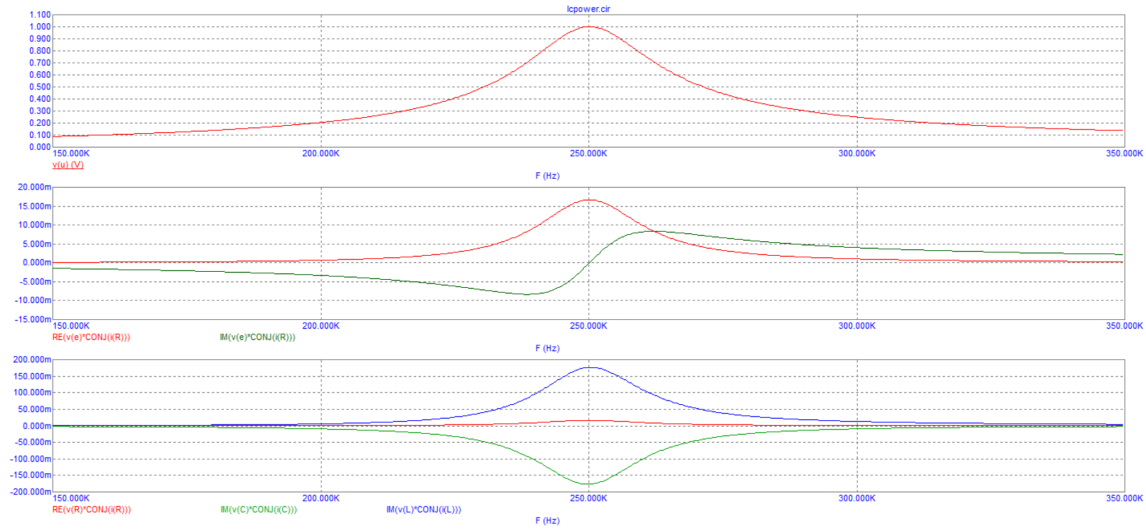
## 4.5

Откроем модель **groudel.cir** полосового фильтра. Наблюдая в режиме *Transient* отклик на двухчастотный сигнал изучим зависимость групповой задержки  $\tau_g$  от  $R = 10, 20, 40, 100$ .

$R, \Omega$	10	20	40	100
$\tau_g, ms$	0,5	0,29	0,152	0,064
$\tau_{th}, ms$	0,62	0,31	0,155	0,06
Q	195	98	49	19

## 4.6

Откроем модель **lcpower.cir**.



На частоте резонанса  $f_0 = 250 \text{ kHz}$ .

$$P_L = 176,066 \text{ m} \quad P_C = -177,477 \text{ m} \quad P_R = 15,89 \text{ m} \Rightarrow \sum P = 14,47$$

$$P_{\sum th} = 16,18 \text{ m}$$

На одной из границ полосы пропускания  $f_1 = 238 \text{ kHz}$ :

$$P_L = 116,577 \text{ m} \quad P_C = -122,51 \text{ m} \quad P_R = 11,14 \text{ m} \Rightarrow \sum P = 5,147$$

$$P_{\sum th} = 11,367 \text{ m}$$

Закон суммирования выполняется.

## 5 Задание 5

### 5.1

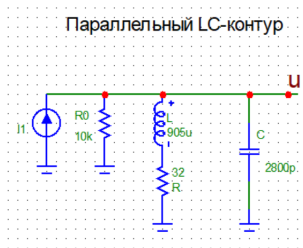
Откроем в MicroCap модель **parallel.cir** параллельного контура с  $f_0 = 100 \text{ kHz}$ ,  $Q = 570$ . По схеме оценим параметры:

$$\alpha = \frac{\rho}{R_0}$$

$$\beta = \frac{R}{\rho}$$

$$Q = \frac{1}{\alpha + \beta}$$





$$\rho = \sqrt{\frac{L}{C}} = 568$$

$$\alpha = 0,0568 \quad \beta = 0,0563$$

$$Q = 8,84$$

## 5.2

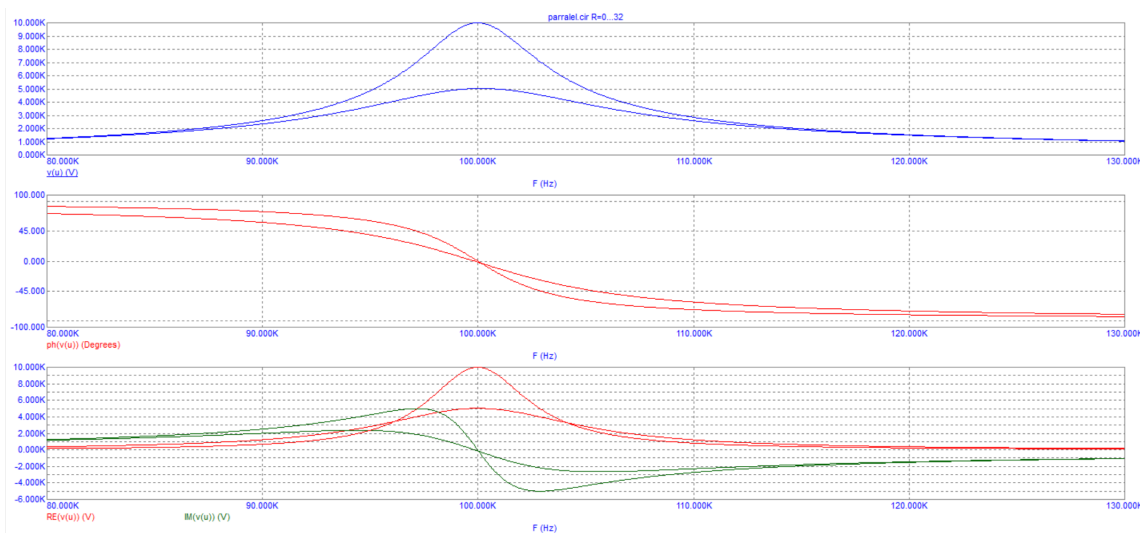
Найдем резонансную частоту  $f_0 = 100 \text{ kHz}$ , полосу пропускания  $\Delta f = 11,6 \text{ kHz}$ . Измерим сопротивление контура  $R_0 = 5 \text{ k}\Omega$ . Оценим добротность как:

$$Q = \frac{R_0}{\rho} = 8,8$$

$$Q = \frac{f_0}{\Delta f} = 8,6$$

## 5.3

Изучим влияние на добротность последовательных потерь  $R$ , установив варьирование  $R = [0, 32 || 32]$ .



Добротность при  $R = 0$ :

$$Q = \frac{f_0}{\Delta f} = 17,3$$

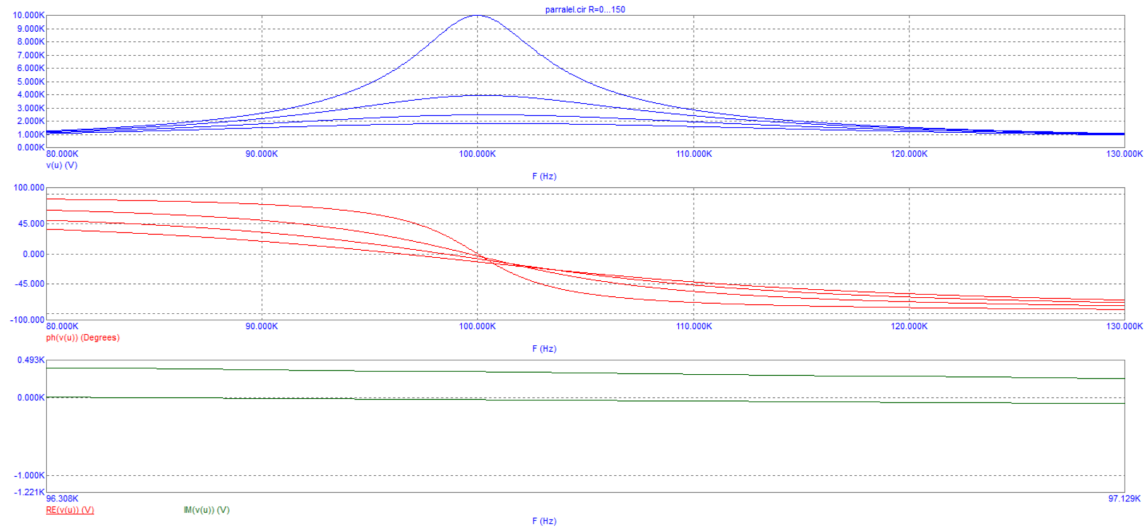
Изучим влияние параллельных потерь  $R_0$ , установив варьирование  $R_0 = [10k, 1000k \parallel 1000k]$ . Измерим добротность при  $R_0 = 1000 k\Omega$ :

$$Q = \frac{f_0}{\Delta f} = 17,2$$

При увеличении  $R$  от  $0 \Omega$   $32\Omega$   $1/Q_0, 0580, 116$   $R_0$   $10\Omega$   $1000\Omega$   $1/Q_0, 1160, 058$ .

## 5.4

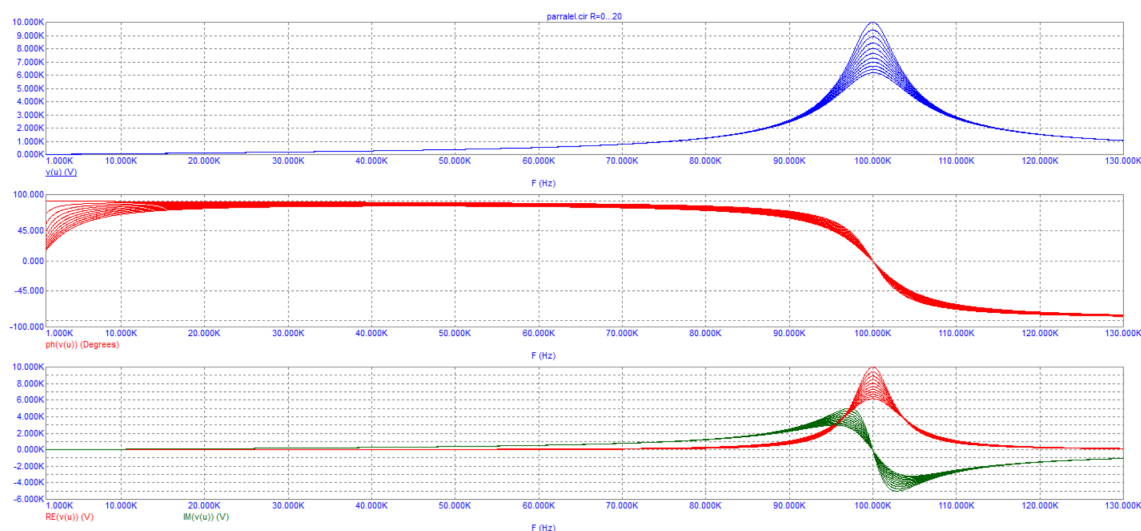
Изучим зависимость частоты параллельного резонанса от  $R = [0, 150 \parallel 50]$ .



$R, \Omega$	0	50	100	150
$f_{\text{exp}}, kHz$	100	99,6	98,42	96,4
$\beta$	0	0,088	0,176	0,264
$f_{\text{exp}}$	100	99,6	98,43	96,45

## 5.5

Исследуем влияние последовательных потерь в области низких частот. Установим частотный диапазон от  $1 kHz$  до  $130 kHz$  и будем варьировать  $R = [0, 20 \parallel 2]$ .

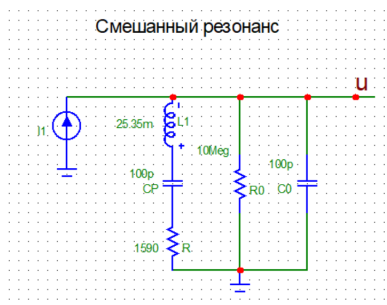


Получаем, что при  $R = 12 \Omega$  фазовый сдвиг на частоте  $f = 2 \text{ kHz}$  составляет  $\pi/4$ .

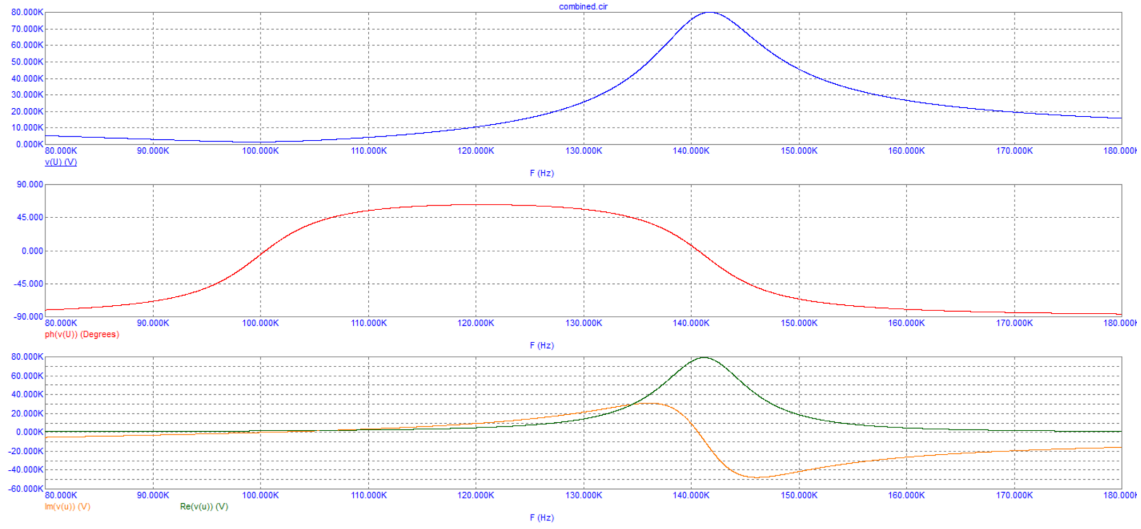
## 6 Задание 6

### 6.1

Откроем модель **combined.cir** с  $f_0 = 100 \text{ kHz}$ ,  $\rho = 15,9 \text{ kHz}$ ,  $q \simeq 10$ ,  $\alpha = 1$ .



Изучим графики частотной и фазовой характеристик, а также графики частотных зависимостей вещественной и мнимой частей мпеданса.



## 6.2

Измерим частоты  $f_p, f_0$  последовательного и параллельного резонансов по точкам пересечения нуля фазовой характеристикой:

$$f_p = 100,5 \text{ kHz} \quad f_0 = 140,6 \text{ kHz}$$

Измерим полосы  $\Delta f_p, \Delta f_0$ , в которых фазовая характеристика изменяется в диапазоне  $\pm 45 \text{ deg}$  в окрестностях резонансов.

$$\Delta f_p = 10,6 \text{ kHz}$$

$$\Delta f_0 = 10,8 \text{ kHz}$$

Оценим добротности  $Q_p, Q_0$  и проверим, что  $f_0 = f_p \sqrt{2}$ ,  $Q_0 = Q_p \sqrt{2}$ :

$$Q_p = \frac{f_p}{\Delta f_p} = 9,5$$

$$Q_0 = \frac{f_0}{\Delta f_0} = 13$$

$$Q_0 = 13 \simeq 13,43 = Q_p \sqrt{2}$$

$$f_0 = 140,6 \simeq 142,1 = f_p \sqrt{2}$$

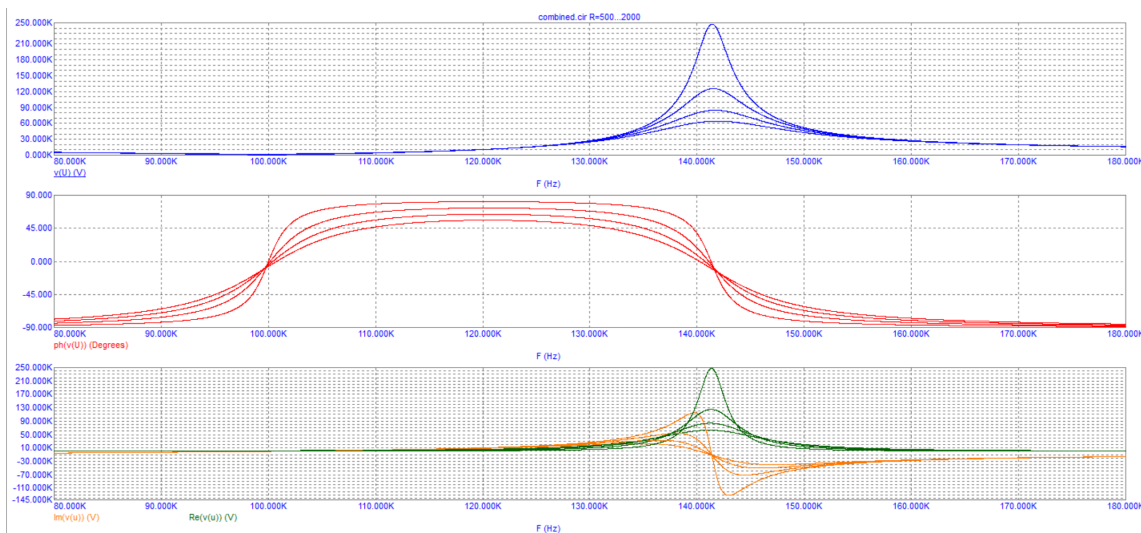
## 6.3

Измерим сопротивление контура на частотах последовательного и параллельного резонансов, сравним результаты с теоретическими значениями  $(r, k^2 \rho_p, Q_p)$ :

$$r_{exp} = 1,565 \text{ k}\Omega \simeq 1,59 \text{ k}\Omega = r_{th}$$

$$(k^2 \rho_p, Q_p)_{mes} = 78,1 \text{ k}\Omega \simeq 79,1 \text{ k}\Omega = \left( \frac{\alpha}{1 + \alpha} \right)^2 \sqrt{\frac{L}{c}} (1 + \alpha) \frac{r}{\rho} = (k^2 \rho_p, Q_p)_{th}$$

Снимем зависимость сопротивления на частоте параллельного резонанса от  $R = [500, 2000||500]$  и емкости  $C_0 = [100p, 300p||100p]$ . Сопоставим их с теорией. Осмыслим характер изменения графиков при варьировании  $R$  и  $C_0$ .

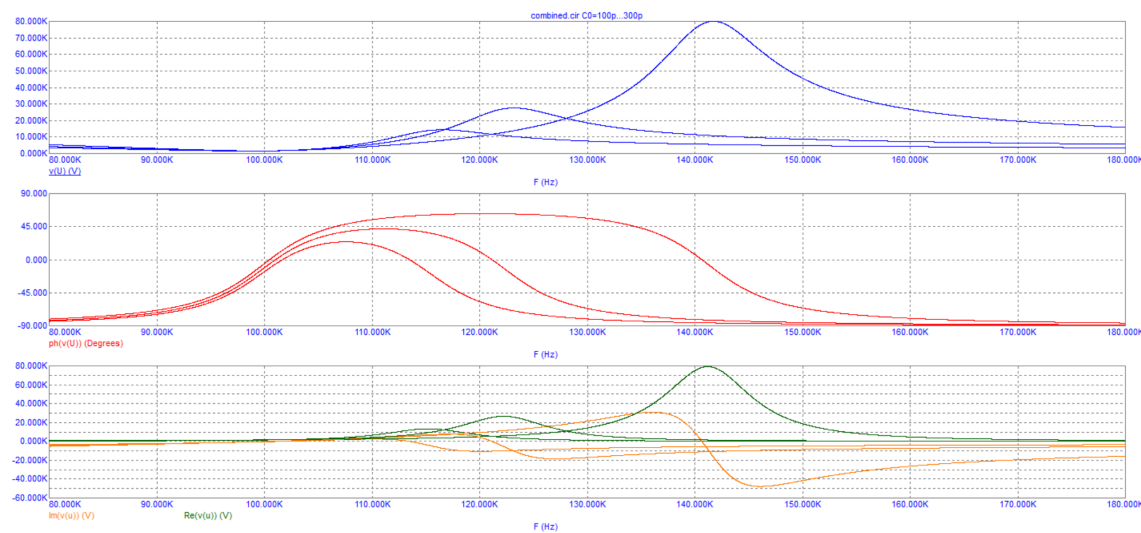


[H]

$R, \Omega$	500	1000	1500	2000
$Z, k\Omega$	247	124,4	83	61,9

Получаем зависимость:

$$Z \sim \frac{1}{R}$$



[H]

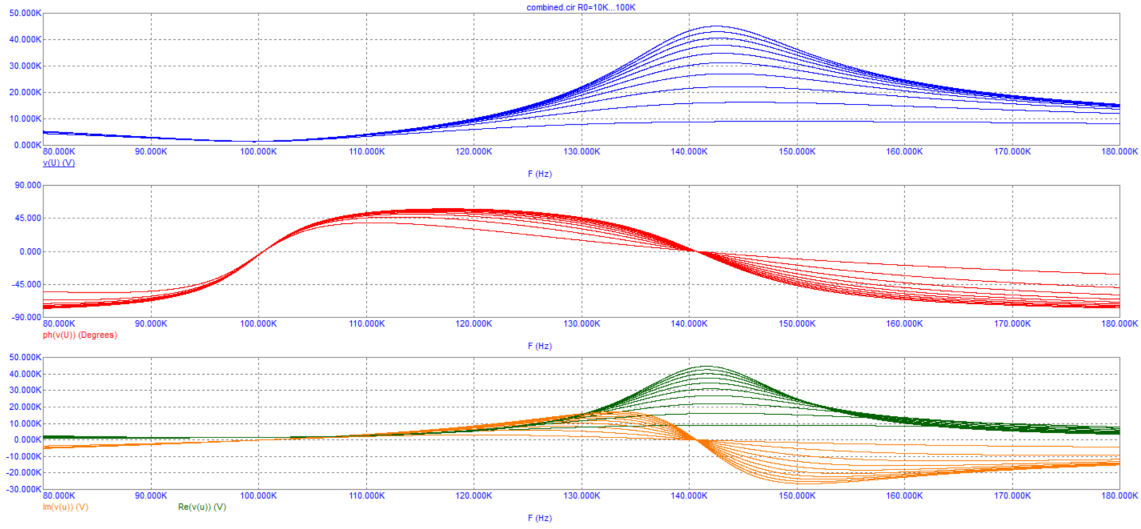
$C_0, pF$	100	200	300
$Z, k\Omega$	78,3	25,4	11,9

Получаем зависимость:

$$Z \sim \frac{1}{C_0^2}$$

## 6.4

Обнулим последовательности потери  $r$  и варьированием  $R_0 = [10k, 100k || 10k]$  подберем сопротивления параллельных потерь так, чтобы достичь того же резонансного сопротивления, что и при  $r = 1590 \Omega$ .



Получим  $R_0 = 80 k\Omega$ . Проверим закон пересчета:

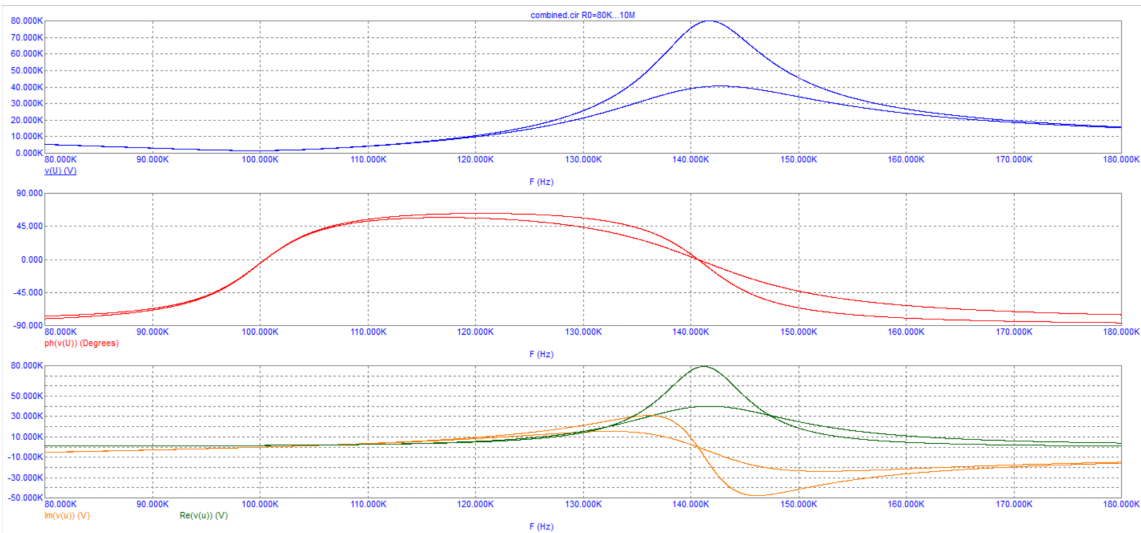
$$R_0 r = k^2 \rho_p^2$$

$$80000 \cdot 1590 \simeq \left(\frac{1}{2}\right)^2 \cdot 2 \cdot 15900^2.$$

Соотношение выше выполняется.

## 6.5

Варьируя  $R_0 = [80k, 10Meg || 10Meg]$  при  $r = 1590 \Omega$ , изучим влияние  $R_0$  на поведения частотной и фазовой характеристик на низких частотах - в диапазоне  $1k, 180k$ .



При увеличении  $R_0$  частотная характеристика увеличивается, а фазовая уменьшается.